

N₃Ce

1961

CE-N₃

Milligan D. E.

MK citoy

J. Chem. Phys., 1961, 35, 372

MK necessitaone 920,000 usra
anua kewa 6 person u ap-
roac typ 4.2°K

CEN₃

1970

3 Б313. Микроволновый спектр и структура азида хлора. Cook Robert L., Gerrg M. C. L. Microwave spectrum and structure of chlorine azide. «J. Chem. Phys.», 1970, 53, № 6, 2525—2528 (англ.)

В области 26 000—48 000 Мгц исследованы МВ-вращательные спектры четырех изотопозамещ. молекул азида хлора $\text{Cl}^{35}\text{N}_3^{14}$ (I), $\text{Cl}^{37}\text{N}_3^{14}$ (II), $\text{Cl}^{35}\text{N}^{15}\text{N}_2^{14}$ (III) и $\text{Cl}^{35}\text{N}_2^{14}\text{N}^{15}$ (IV) в основном колебательном состоянии ($0 \leq J \leq 6$). Определены вращательные постоянные. Из наблюдавшейся сверхтонкой квадрупольной структуры определены постоянные квадрупольного взаимодействия: для I $\chi_{aa} = -55,9$, $\chi_{bb} = 1,9$, $\chi_{cc} = 54,0$, для II $\chi_{aa} = -44,4$, $\chi_{bb} = 1,8$, $\chi_{cc} = 42,6$, для III $\chi_{aa} = -54,9$, $\chi_{bb} = 1,2$, $\chi_{cc} = 53,7$, для IV $\chi_{aa} = -53,9$, $\chi_{bb} = 0,3$, $\chi_{cc} = 53,6$ Мгц. Обсуждена природа хим. связей в молекуле азида хлора, а ее структурные параметры сопоставлены со структурными параметрами родственных молекул.

А. П. Александров

X. 1981. 1

1970

ClN₃

(932830) Microwave spectrum and structure of chlorine azide.

Cook, Robert L.; Gerry, M. C. L. (Dep. of Phys., Duke Univ., Durham, N.C.): *J. Chem. Phys.* 1970, 53(6), 2525-8 (Eng).

The microwave spectra of 4 isotopic species of ClN₃ have been obsd. in the frequency range 26-48 GHz. From the measured values of the rotational consts., the mol. has been deduced to be planar with the following internuclear parameters: $r(\text{Cl}-\text{N}_{(1)}) = 1.745 \pm 0.005 \text{ \AA}$, $r(\text{N}_{(1)}-\text{N}_{(2)}) = 1.252 \pm 0.010 \text{ \AA}$, $r(\text{N}_{(2)}-\text{N}_{(3)}) = 1.133 \pm 0.010 \text{ \AA}$, $\angle \text{ClN}_{(1)}\text{N}_{(2)} = 108^\circ 40' \pm 30'$, $\angle \text{N}_{(1)}\text{N}_{(2)}\text{N}_{(3)} = 171^\circ 56' \pm 30'$, with Cl and N₍₃₎ trans. Values for the Cl quadrupole coupling consts. were obtained for all isotopic species, and for the most abundant, ³⁵Cl¹⁴N₃, were transformed into the principal field gradient axis system. The values obtained are consistent with the deduced structure.

RCJQ

ClN₃
no para.
M.B. Czech

C.A. 1970 73-18

СеN₃

1972

Мельников В.И., Зачеславский С.А. и др.
"Х.органич. химии." 1972, № 9, 1805-1808.

Экспир.
спирей.

● (см HN₃; III)

30806.4685

Ch, T.E.

N₃Cl

(5)

76189

1973

23-1362

X

Paillard Claude, Dupré Gabrielle, Mlle,
 Combourieu Jean. Étude de la détonation
 de composés endothermiques gazeux. I. Cé-
 lérités de détonation de l'azoture de ch-
 lore dans des tubes cylindriques. Limites
 de détonation de l'azoture de chlore et
 de l'azoture d'hydrogène. см. прод.

901 907 09.24 0931 ВИНИТИ
 ник

30806.4685

Ch, TIE

76189

1973

15-1362

прод.

"J. chim. phys. et phys.-chim. biol.",
1973, 70, N. 5, 811-818
(франц., рез. англ.)

0934 пись

09.24

ВИНИТИ

CLP₃

XUS-13540

1976

CLNCO

J. 84: 169965p Electronic structure of the chlorine pseudo-halides chlorine isocyanate and chlorine azide. Kosmus, Walter; Nachbaur, Edgar; Faegri, Knut, Jr. (Inst. Anorg. Anal. Chem., Univ. Graz, Graz, Austria). *J. Chem. Soc., Faraday Trans.*, 2, 1976, 72(4), 802-6 (Eng). Ab initio LCAO SCF MO calcs. with a moderately large basis set were carried out on ClNCO and ClN₃. The s character of the Cl-N bond is greater for the azide than the isocyanate, giving a more stable bond and higher vibration frequency. The total charge on both Cl atoms is +0.5, in agreement with published quadrupole coupling consts.

(rb. ex. faekens)

(+1)

C.A. 1976. 84. N24



90909 - 34909
XIII

ClN_3

summer 6486

1978

BrN_3

IN_3

89: 137861p The ultraviolet spectra of halogen azides
 ClN_3 , BrN_3 and IN_3 . Dehncke, Kurt; Ruschke, Peter
(Fachber. Chem., Philipps-Univ. Marburg, Marburg, Ger.). Z.
Naturforsch., B: Anorg. Chem., Org. Chem. 1978, 33B(7),
750-2 (Ger). The UV spectra of ClN_3 , BrN_3 and IN_3 were
recorded in hexane soln. as well as in CCl_4 soln. The spectra are
in agreement with C_5 -symmetry of the XN_3 species and
correspond well with other covalent azides.

(P-P & CCl_4)

(V_i; cryosc.) ④ 2 ⊕

CIA, 1978, 29, N16

ClN₃

1978

Mueller Joachim

импульсного
спектра ЭПР

Z. Naturforsch., B: Anorg.
Chem., Org. Chem. 1978, 33B(9),
993-6

att. HN₃ - II

ClN₃
BrN₃
ClNCO
BrNCO
INCO
Фотоэлк.
спектр

15 Б103. Фотоэлектронные спектры с возбуждением /1980/
He-I для азидов галогенов XN_3 ($X=Cl$ и Br) и для
изоцианатов галогенов $XNCO$ ($X=Cl$, Br и I).

Frost D. C., Macdonald C. B., McDowell C. A.,
Westwood N. P. C. The HeI photoelectron spectra
of the halogen azides, XN_3 ($X=Cl$ and Br) and the ha-
logen isocyanates, $XNCO$ ($X=Cl$; Br and I). «Chem.
Phys.», 1980, 47, № 1, 111—124 (англ.).

Предложены высокоэффективные методы получения
неустойчивых азидов галогенов и изоцианатов галоге-
нов, с помощью к-рых измерены фотоэлектронные
спектры (ФЭС) с возбуждением He-I для химических
соединений XN_3 ($X=Cl$ и Br) и $XNCO$ ($X=Cl$, Br , I).
Проведены детальный анализ колебательной структуры
полученных ФЭС и их сопоставление с лит. эксперим.
спектроскопич. данными и с результатами неэмпирич.
(в миним. базисе СТО-ЗГ) или полуэмпирич. (ППДП)
расчетов. Это позволило произвести соотнесение изме-
ренных ФЭС и предложить новое соотнесение высоко-

(+4)

Х 1980 № 15

энергетич. области ФЭС для к-т HN_3 и HNCO . Исследована зависимость характера возмущения орбиталей линейных ионов N_3^- и NCO^- от природы присоединившегося галогена. Показано, что из-за отсутствия аксиальнойной симметрии у исследованных молекул наблюдается существенное расщепление связывающих и несвязывающих орбиталей π -типа их линейных фрагментов, увеличивающееся в ряду заместителей от Cl к J в первом случае, и уменьшающееся во 2-м. Отмечено, что при замене галогена на атом Н возмущение значительно слабее, что и затрудняет интерпретацию ФЭС для HN_3 и HNCO . Из полученных эмпирич. зависимостей изменений ФЭС изоцианатов газогенов от потенциала ионизации свободного атома галогена предсказан ФЭС для FNCO .

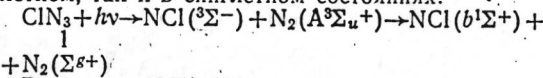
О. А. Басченко

ClN₃

Омск 12320 1981

ЗД557. Фотодиссоциация молекулы ClN₃ при 193 и 249 нм. Photodissociation of ClN₃ at 193 and 249 nm.
 Coombe R. D., Patel D., Pritch A. T. Jr., Wodarczyk F. J. «J. Chem. Phys.», 1981, 75, № 5, 2177—2190
 (англ.)

Исследованы продукты фотолиза молекул ClN₃, образующиеся под действием излучения эксимерных лазеров ArF (193 нм) и KrF (249 нм). Установлено, что в обоих случаях образуются радикалы NCI и N₂ как в триплетном, так и в синглетном состояниях:



Радикалы NCI(*b*¹Σ⁺) детектировались по излучению в области 500—700 нм. В результате исследования разрешенных во времени спектров излучения радикалов NCI(*b*¹Σ⁺) определены константы тушения этих радикалов в смеси 3% ClN₃+He: $k_Q = (1,72 \pm 0,05) \cdot 10^3 \text{ с}^{-1} \cdot \text{мм рт. ст.}^{-1}$ для колебательных уровней $v' = 0—2$ и $k_Q = (3,8 \pm 0,2) \cdot 10^4 \text{ с}^{-1} \text{ мм рт. ст.}^{-1}$ для $v' \geq 8$, а также скорость спонтанного излучения NCI(*b*¹Σ⁺), $v' =$

фотодиссоциация

ClN₃

окт 1982, 18, № 3.

$\lambda=0-2$), равных 1590 ± 160 с⁻¹. Образующиеся при фотолизе ClN_3 метастабильные молекулы $\text{N}_2(A^3\Sigma_u^+)$ детектировались либо по излучению $\text{N}_2(C^3\Pi_u) \rightarrow B^3\Pi_g$, обусловленному процессом $\text{N}_2(A^3\Sigma_u^+) + \text{N}_2(A^3\Sigma_u^+) \rightarrow \text{N}_2(C^3\Pi_u) + \text{N}_2(X^1\Sigma_g^+)$, либо по излучению молекулы NO, возбуждаемой в результате переноса энергии от $\text{N}_2(A^3\Sigma_u^+)$. Установлено, что при фотолизе на $\lambda=193$ нм синглетные и триплетные продукты образуются со сравнимыми вероятностями, тогда как на $\lambda=249$ нм выход триплетных продуктов значительно ниже. Выход радикалов $\text{NCl}(b^1\Sigma^+)$ приблизительно одинаков на обеих длинах волн. Библ. 36.

В. А. Е.

ion
nisr

ClN₃

Омск 12320 1981

У6.Б1381. Фотодиссоциация ClN₃ при 193 и 249 нм.
Coomb R. D., Patel D., Pritt A. T., Jr., Wodarczyk F. J. Photodissociation of ClN₃ at 193 and 249 nm.
«J. Chem. Phys.», 1981, 75, № 5, 2177—2190 (англ.)

Методами эмиссионной спектроскопии в областях $\lambda\lambda$ 200—500 нм, $\lambda\lambda$ 500—800 нм и в ИК-области исследованы продукты фотодиссоциации (ФД) ClN₃ (I) при парц. давл. \sim 125 мТорр (разбавление He в \sim 30 раз) под действием света 193 и 249 нм импульсных лазеров на ArF и KrF соотв. (энергия импульса <10 мДж). Спектр поглощения I в области 170—270 нм содержит три полосы с максимумами при 250, 205 и <170 нм. Наиболее интенсивна последняя полоса с коэф. экстинкции $\varepsilon_{170}=5000$ в/моль·см. Поскольку молекула I метастабильна по отношению к фрагментам NCl и N₂ в основных состояниях (разность энергий $\sim 1,1 \cdot 10^4$ см⁻¹), ФД I под действием света обоих лазеров разрешена по спину как по синглетному, так и по триплетному каналам: I + hν → NCl* (¹Δ, ¹Σ⁺, ...) + N₂(¹Σ_g⁺) или → NCl(³Σ⁻) + N₂* (¹A³Σ_u⁺). При ФД I светом 193 нм в синглетном канале наблюдали испускание света элект-

М.Л.

(+2)

NCl, N₂

X. 1982, 19, N6.

роно-возбужденными фрагментами $\text{NCl}(b^1\Sigma^+)$, к-рые обладают также колебат. возбуждением (до $v'=10$). Изучена кинетика затухания эмиссионных спектральных линий различных колебат. состояний $\text{NCl}(b^1\Sigma^+)$ в системе $\text{He} + 3\% \text{ I}$. Найдено, что константа скорости тушения низших колебат. состояний ($v'=0-2$) $\text{NCl}(b^1\Sigma^+)$, равная $(1,72 \pm 0,05) \cdot 10^3 \text{ Торр}^{-1} \cdot \text{с}^{-1}$, намного ниже соответствующей константы скорости тушения состояний с $v' \geq 8$, к-рая равна $(3,8 \pm 0,2) \cdot 10^4 \text{ Торр}^{-1} \cdot \text{с}^{-1}$. Такое быстрое тушение не соответствует колебат. релаксации. По аналогии с изученной ранее ФД HN_3 оно приписа-но р-ции $\text{NCl}(b^1\Sigma^+, v')$ с I с образованием NCl_2 , к-рая вероятно имеет энергетич. барьер. Константа скорости A спонтанного испускания света $\text{NCl}(b^1\Sigma^+, v'=0-2)$ найдена равной $1590 \pm 160 \text{ с}^{-1}$. Эта величина намного превышает $A \approx 67 \text{ с}^{-1}$ для $\text{NF}(b^1\Sigma^+)$ (по лит. данным), что связано с большим влиянием спин-орбитального взаимодействия в NCl на формально запре-щенный интеркомбинац. переход $b^1\Sigma^+ - X^3\Sigma^-$. При ФД I по триплетному каналу светом 193 нм наблюдали об-разование возбужденных метастабильных молекул $\text{N}_2(A^3\Sigma_u^+)$, обнаруживаемых по спектру испускания $\text{N}_2(C^3\Pi_u \rightarrow B^3\Pi_g)$, обусловленному процессами сложения энергии, а также по возбуждению эмиссионного спект-ра NO в смесях с I, обусловленному переносом энергии с метастабильных молекул N_2 . ФД I по синглетному и триплетному каналам имеет сравнимые вероятности. При ФД I светом 249 нм также образуются возбуж-денные синглетные и триплетные фрагменты NCl и N_2 . Выходы $\text{NCl}(b^1\Sigma^+)$ при действии света 193 и 249 нм приблизительно одинаковы, тогда как выход $\text{N}_2(A^3\Sigma_u^+)$ при ФД I светом 249 нм сильно снижен. Начальныe колебат. распределения $\text{NCl}(b^1\Sigma^+)$ при ФД светом 193 и 249 нм близки друг к другу. Полученные данные о динамике ФД I обнаруживают существенные различия с известными из лит-ры соотв-щими данными о ФД HN_3 и HNCO . Прежде всего, полосы поглощения I не содержат структуры, характерной для HN_3 и указывающей на предиссоциативное взаимодействие связанныго состояния с отталкивательным состоянием, к-рое корре-лирует с продуктом $\text{NH}(a^1\Delta)$ ФД HN_3 светом 266 нм. Механизмом ФД I является прямая диссоциация, т. е. возбужденное состояние I имеет очень короткое время жизни. Другое различие состоит в степени колебат. возбуждения продуктов ФД. При ФД I образуется фрагмент $\text{NCl}(b^1\Sigma^+)$ со значительным колебат. возбуж-дением. При ФД HN_3 светом 266 нм и HNCO светом 193 нм фрагмент NH образуется в состоянии $a^1\Delta$ (об-разование $\text{NH}(b^1\Sigma^+)$ при ФД HN_3 не обнаружено, квант. выход $\text{NH}(a^1\Delta)$ составляет ~ 1). Фрагмент $\text{NH}(a^1\Delta)$ образуется практически только в колебат. состоянии $v'=0$ с нек-рым вращательным возбуждением, к-рое обусловлено изогнутой конфигурацией возбужден-ного состояния HN_3 или HNCO . Возможное объяснение колебат. возбуждения $\text{NCl}(b^1\Sigma^+)$ при ФД I состоит в большом различии длии связи $\text{N}-\text{Cl}$ в исходной моле-куле I и в фрагменте $\text{NCl}(b^1\Sigma^+)$. Согласно расчетам на основании молек. констант длина этой связи в молекуле I, равная $1,745 \text{ \AA}$, соответствует среднему межъ-ядерному расстоянию для состояния $v'=9$ $\text{NCl}(b^1\Sigma^+)$, тогда как длина связи в фотофрагменте $\text{NH}(a^1\Delta)$ лишь немного превышает длину связи $\text{N}-\text{H}$ в молекулах HN_3 и HNCO . Поскольку ФД I происходит по меха-низму прямой диссоциации, время жизни возбужденно-го состояния мало и рандомизация внутр. энергии воз-буждения не успевает произойти. Отмечено, что ФД I представляет собой удобный способ получения мета-стабильных молекул $\text{N}_2(A^2\Sigma_u^+)$ для экспериментов по исследованию процессов переноса энергии. В. Е. Скурат

ClN_3

1982

Langhoff Stephen R.,

Jaffe Richard L.,

pacemē E, 'y. Int. J. Quantum Chem.,
eliproes., 'y; 1983, 23, N3; Proc. 4th Int.
Congr. Quantum Chem., Uppsala,
13-20 Jeere, 1982. Contrib. Pap., Pt 3,
875-886. (cfr. Cl₂; II)

ClN_3

1983

Zanghoff S.R., Jaffe R.Y.
et al.

pacem
et. 12.,
y;
Int. J. Quantum Chem.,
1983, 23, N3; Proc. 4 Int.
Congr. Quantum Chem.,
Uppsala, 13-20 June, 1982.
Contrib. ● Pap., Pt 3, 875-886.
(see Cl₂; III)

ClN₃

(Omnicek 14061)

1982

Piper d.B., Krich R.H.,
et al.,

49 promono-
mer

J. Photochem., 1982,
18, N^o 2, 125-136.

CNNN (om. 29224) 1988

Destro R., Merati F.,
et al.

Cl-N Chem. Phys. Lett.,
CB886 1988, 145, N3, 193-199.

An ab initio study of
the N-Cl bond.

ClN_3^+

[Om. 30490]

1988

Jacob et al.,

Ti; Di; J. Phys. and Chem. Ref.
Data, 1988, 17, N2, 396.

N₃Cl

[Cm. 36685]

1992

Otto M., Lotz S.D. et al.,
cryxrya,
ab initio Inorg. Chem. 1992, 31,
facem 3647 - 3655.

Quantum Mechanical ab Initio
Studies of the  structures
and stabilities of Halogen

Azides XN_3 ($X=F, Cl, Br, I$)

F: ClN3

P: 3

1995

5Б1215. Экспериментальное и теоретическое исследование колебательных спектров ковалентных азидов X-N[3] (X=H, F, Cl, Br, I). Расчеты методом функционала плотности в сопоставлении с другими неэмпирическими приближениями. Experimental and theoretical vibrational studies of covalent X-N[3] azides (X=H, F, Cl, Br, I). Application of the density functional theory and comparison with ab initio results / Schulz Axel, Tornieporth-Oetting Ines C., Klapotke Thomas M. // Inorg. Chem. - 1995. - 34, N 17. - С. 4343-4346. . Англ.

Получены ИК- и КР-спектры XN[3] (X=F, Cl, Br, I) в газ. фазе. Интерпретация спектров этих соединений и HN[3] уточнена с помощью расчетов частот и форм колебаний методами функционала плотности и других неэмпирич. приближений. Отмечено, что на коррелированном уровне теории функционала плотности с функционалом B-LYP частоты передаются вполне удовлетворительно без обычного масштабирования.

Р.Ж.Х. №5, 1996

ClN₃

1997

) 18Б4285. Кинетика NCl($a^1\Delta$), изученная путем фотодиссоциации ClN₃. Kinetics of NCl($a^1\Delta$) via photodissociation of ClN₃ / Henshaw Thomas L., Herrera Samuel D., Haggquist Gregory W., Schlie L. A. (Vern) // J. Phys. Chem. A [J. Phys. Chem.] .— 1997.— 101, № 22.— С. 4048–4056.— Англ. Место хранения ГПНТБ России

(*фотодиссоц.*)

X. 1997, N 18

CCN₃

PM 41762

2003

Che Huijuck et al.,

9

Chenphyschem: 2003, 4, N5
200 - . . .